



## زمین-دماسنجهای اسکارنهای سرانجیک (جنوب غرب قروه، استان کردستان)

فرهاد شیخی<sup>۱</sup>، زهره اعلمی نیا<sup>۲</sup>، امیر علی طباخ شعبانی<sup>۳</sup>

۱- گروه زمین‌شناسی، دانشگاه خوارزمی

۲- عضو باشگاه پژوهشگران جوان، دانشگاه آزاد اسلامی، واحد تهران مرکز

۳- پژوهشکده علوم زمین، سازمان زمین‌شناسی و اکتشافات معدنی کشور

(دریافت مقاله: ۹۰/۱/۱۵، نسخه نهایی: ۹۰/۴/۲۹)

چکیده: تزریق توده‌های گرانوودیوریتی به درون آهک‌های کلسیتی منطقه‌ی قروه منجر به تشکیل مرمرهای سیلیکات قلیایی‌دار و انواع اسکارن شده است. اسکارن‌ها حاوی کانی‌های کلسیت، کلینوپیروکسن، گارنت، ولاستونیت، ایدوکراز و اپیدوت است. بر پایه‌ی بررسیهای ژئوشیمیایی، دو نوع گارنت گراسولار و آندرادیت قابل تشخیص‌اند. کلینوپیروکسن‌های موجود در این اسکارن‌ها از نوع دیوپسیدند. با توجه به مجموعه‌ی کانی‌شناسی موجود در اسکارن‌ها و با استفاده از مدرج کردن‌های گوناگون در زمین-دماسنجه گارنت-کلینوپیروکسن، دمای تشکیل این اسکارن‌ها در حدود ۴۵۰ تا ۵۷۸ درجه‌ی سانتیگراد و رخداد دگرگونی در حد رخساره‌ی هورنبلند هورنفلس تا بخشی از رخساره‌ی پیروکسن هورنفلس تعیین شده است.

واژه‌های کلیدی: اسکارن، زمین-دماسنجهای سرانجیک، قروه، کردستان.

کانی‌های سنگ در شرایط تعادلی تشکیل شده باشد. به عقیده‌ی [۳]، این شرایط برای سنگ‌هایی که به سرعت سرد شده‌اند یا اینکه دمای پایینی داشته‌اند ممکن است معتبر باشد. در واقع این دما-فشارسنج‌ها بر اساس حساسیت توزیع عنصر در ساختار کانی‌ها یا طی تبادلات شیمیایی، نسبت به دما و یا فشار طراحی شده‌اند. یکی از معروف‌ترین این‌گونه دماسنجه‌ها، روش گارنت-کلینوپیروکسن است. از آنجایی که دو کانی گارنت و کلینوپیروکسن از متداول‌ترین کانی‌های سنگ‌های اسکارنی است، از این‌رو می‌توان بر اساس تبادل Fe-Mg بین این دو کانی به زمین-دماسنجه اسکارن‌های مورد بررسی پرداخت. با توجه به میزان کلسیم بالای اسکارن‌ها و تشکیل آنها در شرایط فشار پایین‌تر نسبت به گرانولیت‌ها و اکلوزیت‌ها، کاربرد این زمین-دماسنجه برای آنها می‌تواند توأم با خطا باشد [۳,۵]. از آنجا که تاکنون زمین-دماسنجه خاصی برای اسکارن‌ها ارائه نشده، لذا در این مقاله سعی شد تا با توجه به مجموعه کانی‌های موجود در اسکارن‌ها و نیز از میان

## مقدمه

با توجه به اهمیت تعیین شرایط فشار و دما در بررسی‌های مربوط به پهنه‌های زمین‌شناسی، تا کنون روش‌های گوناگونی بدین منظور ارایه شده‌اند که قدیمی‌ترین آنها استفاده از شبکه‌های سنگ‌زایی است. به مرور زمان، با پیشرفت روزافزون علم و اختراع دستگاه‌های گوناگون و پیشرفت در اندازه‌گیری عناصر، این روش جای خود را به استفاده از داده‌های ترمودینامیکی داده است.

بررسی‌های زمین-دماسنجه و زمین-فشارسنجی برای شناخت شرایط دما و فشار تشکیل سنگ‌ها، در دهه‌های اخیر به عنوان یک روش مفید مطرح شده‌اند. در این زمینه تجربیات آزمایشگاهی دانشمندانی از قبیل [۴-۱]، محاسبات و مدل-ریزکامدنی به شناخت بهتر شرایط دما و فشار حاکم بر سنگ‌ها در خلال فرآیندهای زمین‌شناسی کمک موثری کرده است. اساس این پژوهش‌ها بر این فرض مبنی است که مجموعه

بررسی شده است. در واقع این نوع دگرگونی، پس از شکل‌گیری سنگ‌های دگرگونی و تشکیل توده‌های آذرین ایجاد شده است. سنگ‌های آذرین و دگرگونی موجود در این منطقه تاکنون توسط پژوهشگران متعدد [۸-۲۴] مورد بررسی قرار گرفته‌اند. بر اساس بررسی‌های صحرایی، این اسکارن‌ها همراه با چرت‌های دگرگون نواری روی سنگ‌های گرانوپیوریتی قرار گرفته‌اند. به طور کلی این اسکارن‌ها که در نقاط مختلف این منطقه رخنمون دارند فاقد گسترش چشمگیر و ارزش اقتصادی‌اند و در برخی از رخنمون‌ها ضخامت آنها به ۲ متر می‌رسد. اسکارن‌ها و متاچرت‌ها در پی نفوذ توده‌های گرانیت - گرانوپیوریتی بدرون آهک‌ها و لایه‌های متناوب آهک و چرت به وجود آمده‌اند.

در مختصات  $35^{\circ}09'54''$  عرض  $47^{\circ}47'16''$  طول شرقی و  $35^{\circ}08'01''$  عرض شمالی سنگ‌های دیگری از جنس هورنفلس در اسکارن‌ها یافت می‌شوند که پورفیروبلاست آن کانی آندالوزیت سریسیتیزه است به‌طوری که در مقاطع، فقط قالبی از آن باقی مانده است (شکل ۲-الف).

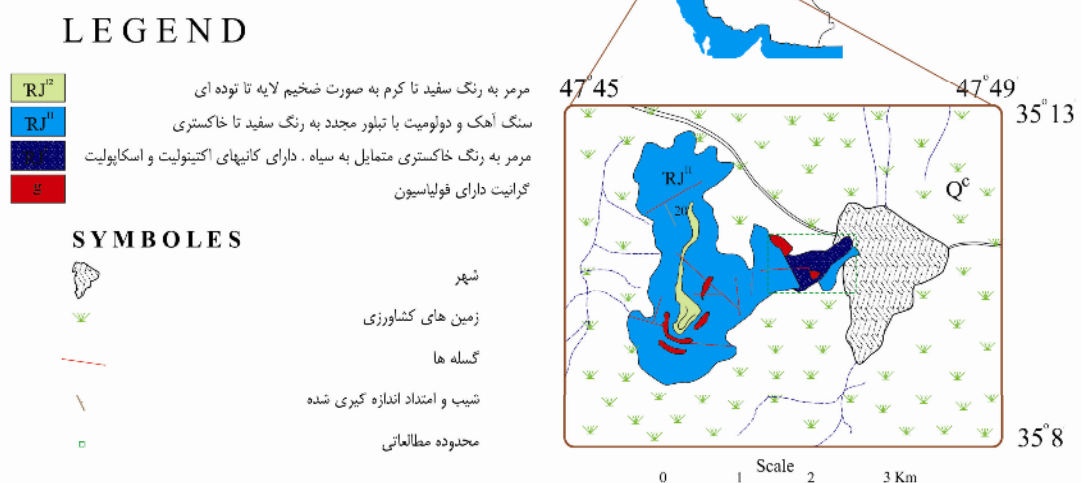
توده‌های نفوذی در نقاط مختلف این گستره پراکنده‌اند که برخی از این توده‌ها دارای برگوارگی و برخی فاقد برگوارگی‌اند. توده‌های نفوذی جوان شامل گرانیت، دیوریت و گابرواند که فاقد برگوارگی هستند (شکل ۲-ب) و توده‌های قدیمی‌تر که دارای برگوارگی‌اند، شامل گابرو، گابرو دیوریتی، دیوریت و گرانیت هستند که به صورت موضعی میلونیتیزه شده‌اند [۱۸].

درجه‌بندی‌های مختلف زمین- دما‌سنج گارنت- کلینوپیروکسن، گستره‌ی دمایی حاکم برای اسکارن‌های سرانجیک برای نخستین بار برآورد شود.

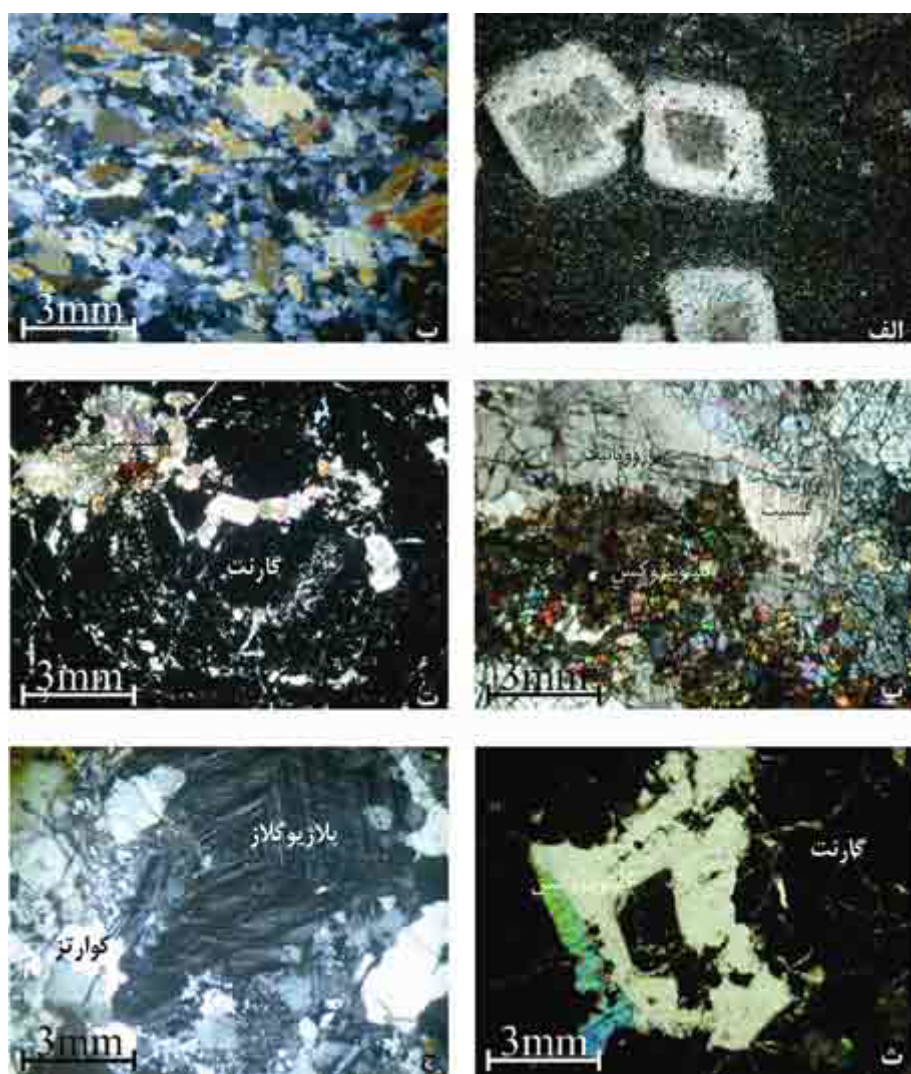
#### زمین‌شناسی منطقه

توده‌ی مورد بررسی در جنوب غربی شهرستان قروه در استان کردستان در منطقه‌ای به نام سرانجیک با مختصات جغرافیایی  $47^{\circ}45'$  تا  $47^{\circ}49'$  طول شرقی و  $35^{\circ}13'$  تا  $35^{\circ}08'$  عرض شمالی قرار دارد و از نظر ساختاری در زون سنندج - سیرجان قرار گرفته و به تبع آن دارای ویژگی‌های زون یادشده است (شکل ۱). با این همه، چهره‌ی ظاهری جنوب ورقه  $1:100000$  قروه با شمال آن کاملاً متفاوت است. سنگ‌های نیمه جنوبی بیشتر دگرگونی‌اند. دگرگونی به عنوان مهمترین و بارزترین پدیده‌ی حاکم و به صورت دگرگونی ناحیه‌ای، مجاورتی و دگرگونی دینامیک (کاتاکلاستیک) دیده می‌شود که تمامی آنها طی رخداد کوهزایی سیمیرین میانی شکل گرفته‌اند [۶]. علاوه بر این، ماجماتیسم و پدیده‌های واپسی تأثیر بهسزایی در سرنوشت زمین‌شناسی این منطقه داشته است. عملکرد عوامل یاد شده باعث شکل‌گیری مسایل پیچیده‌ای در این بخش از زون سنندج - سیرجان شده که حل آن مستلزم تفکیک دقیق دگرگونی، ماجماتیسم و دگرشکلی - های موجود در سنگ‌ها و تعیین قلمرو خاص هریک از آن‌ها شده است.

ویژگی‌های دگرگونی دینامیک گستردۀ قروه توسط [۷]



شکل ۱ موقعیت جغرافیایی منطقه‌ی مورد بررسی.



شکل ۲ (الف) آندالوزیت هورنفلس، کانی آندالوزیت تحت تأثیر دگرسانی به طور کامل به سریسیت تبدیل شده است. نمونه‌ی شماره GR۵ در نور قطببندی متقاطع. (ب) گابروپیوریت، نمونه‌ی شماره GR۱۱ در نور قطببندی متقاطع. (پ) انواع کانی‌هایی که در اسکارن‌های قروه می‌توان مشاهده کرد. نمونه‌ی شماره GR۱۵ در نور قطببندی متقاطع. (ت) کانی‌های وزوویانیت و کلینوپیروکسن در داخل اسکارن‌های قروه. نمونه‌ی شماره GR۴ در نور قطببندی متقاطع. (ث) بقایایی از کلینوپیروکسن در درشت دانه‌ی گارنت نمونه‌ی شماره GR۴ در نور قطببندی متقاطع. (ج) کانی‌های کوارتز، پلازیوکلاز و ارتوکلаз در گرانیت قروه. نمونه شماره GR۲۲ در نور قطببندی متقاطع.

مورد آنالیز الکترون میکروپرور قرار گرفتند. آنالیزها با استفاده از یک ریزکاوندهی الکترونی Cameca مدل SX-50 و با ولتاژ شتابدهندهی ۱۵ kV و شدت جریان ۱۵ nA برای ۱۰ ۰ عنصر اصلی و فرعی در مؤسسه‌ی زمین‌شناسی دانشگاه لاسپینزا، رم - ایتالیا انجام گرفت. برای تعیین زمین- دمای اسکارن‌های قروه، نخست با بررسی مجموعه‌های کانی‌شناسی موجود در مقاطع نازک و نیز ترسیم آنها روی شبکه‌ی پتروزنیک به صورت تجربی، تا حدودی توانستیم دما و فشار یا به عبارت دیگر شرایط دگرگونی منطقه‌ی آگاهی یابیم. پس از کمک آنالیزهای

### روش کار

پس از جمع آوری و بررسی داده‌های موجود زمین‌شناسی گستره‌ی مورد بررسی، نمونه‌های متعددی برداشت شدند. به منظور بررسیهای سنگنگاری، تعداد ۳۰ مقطع نازک از اسکارن‌ها و گرانیت‌ها تهیه و سپس بوسیله میکروسکوپ قطبشی Olympus مدل BH-2 مورد بررسی قرار گرفتند. از میان مقاطع بررسی شده تعداد ۷ مقطع از اسکارن‌ها و گرانیت‌ها انتخاب و از آن‌ها مقاطع نازک صیقلی تهیه شدند و پس از پوشش سطح آنها با لایه‌ای از کربن پوشش داده شد

آمده‌اند. سمت‌گیری رخ‌های موجود در بلورهای کلسیت اولیه نشنده‌نده‌ی بریدگی حاصل از تأثیر دگرگونی ناحیه‌ای با درجه پایینی است که پس از تشکیل اسکارن‌ها حالت خرد شده دارند [۱۹]، ولی کلینوپیروکسن، ولاستونیت و اسفن که مقاومت بیشتری در برابر فشارهای زمین‌ساختی دارند، نسبتاً سالم‌تر باقی مانده‌اند. در درون دانه‌های درشت گارنت می‌توان بقایایی از کلینوپیروکسن را نیز مشاهده کرد (شکل ۲-ت). وجود باقیمانده‌هایی از کلینوپیروکسن در گارنت (بافت باقیمانده) بیانگر تبدیل برخی کلینوپیروکسن‌ها به گارنت و تقدم تشکیل کلینوپیروکسن و ولاستونیت نسبت به گارنت است (شکل ۲-ج). در مواردی هم گارنت در راستای رخ‌های کلینوپیروکسن مشاهده می‌شود که همگی شاهدی برای تبدیل کلینوپیروکسن به گارنت است. در چند مورد از مقاطع نازک مورد بررسی علاوه بر گارنت‌های همسانگرد، گارنت‌های ناهمسانگرد به صورت هاله‌ای در پیرامون گارنت همسانگرد مشاهده می‌شوند که دلیل آن می‌تواند تغییر ترکیب گارنت‌ها در طی مراحل دگرگاهی باشد. بافت اصلی این سنگ‌ها گرانوبلاستیک است ولی با توجه به وجود نفوذیهایی از کلینوپیروکسن و ولاستونیت در گارنت‌ها، بافت فرعی پویی کیلوبلاستیک نیز در آن‌ها مشاهده می‌شود. به این ترتیب بر پایه‌ی ترکیب کانی‌شناسی، اسکارن‌های قروه از نوع اسکارن‌های گارنت و کلینوپیروکسن محسوب می‌شوند.

#### متاچرخ‌های نواری

این سنگ‌ها همراه با اسکارن‌ها، طی دگرگونی مجاورتی از لایه‌های متنابوب چرت و آهک حاصل شده‌اند. این قروه از سنگ‌ها در بخش‌های آهکی خود، کانی‌هایی شبیه اسکارن‌ها (کلسیت، کلینوپیروکسن، گارنت، ولاستونیت، اسفن و اپیدوت) هستند ولی در بخش‌های سیلیسی آنها کانی‌هایی همچون گارنت، فلدسپار، کانی‌های رسی و کلریت دیده می‌شوند.

#### گرانیت‌تؤییدها

مجموعه‌ی پلوتونیک قروه بطور کلی دارای ترکیب کوارتز دیوریتی، گرانودیوریتی تا گرانیتی است که رگه‌های آپلیتی آن را قطع کرده‌اند و به دلیل اینکه تنوع در وسعت کمی مشاهده می‌شود، از این رو تمامی آن‌ها را تحت عنوان واحد گرانیتی یاد می‌کنیم. این واحد گرانیتی که عامل دگرگونی مجاورتی و تشکیل اسکارن‌هاست به لحاظ کانی‌شناسی عموماً از کوارتز با حاشیه‌ی مضرس و خاموشی موجی، فلدسپار پتاسیم (ارتوكلاز)، پلاژیوکلاز (الیگوکلاز)، اسفن، بیوتیت، هورنبلند و

ریزکاوشی با استفاده از نرم‌افزارهای Excel و Rockworks و زمین - دماسنج گارنت-کلینوپیروکسن شرایط دمایی حاکم بر اسکارن را تعیین کردیم. در نهایت با مقایسه‌ی نتایج حاصل از بررسیهای کانی‌شناسی با نتایج آنالیزهای شیمیایی منطقه را تعیین کردیم.

#### سنگ‌نگاری اسکارن‌ها

اسکارن‌ها به طور کلی دارای ساخت توده‌ای‌اند ولی در برخی موارد به صورت نواری (مربوط به لایه‌بندی اولیه‌ی سنگ مادر) دیده می‌شوند. در واقع این نوارها از تراکم متنابوب کلینوپیروکسن (دیوپسید) و گارنت (گراسولار- آندرادیت) تشکیل شده‌اند که احتمالاً لایه‌های غنی از گارنت، لایه‌های مارنی-آهکی بوده‌اند. در فواصل کمی دورتر از این اسکارن‌های نواری به سبب دگرگاهی گرمابی، زون‌های غنی از گارنت دیده می‌شوند که در آن زون‌ها گارنت‌های قهوه‌ای متمایل به سیز (گراسولار)، گارنت‌های قهوه‌ای (آندرادیت) را دربر گرفته‌اند. از توده‌ی نفوذی به سمت سنگ آهک‌های منطقه، یک منطقه-بندی در اسکارن‌ها دیده می‌شود که به ترتیب شامل اسکارن-های کلینوپیروکسن، اسکارن‌های کلینوپیروکسن - وزوویانیت، اسکارن‌های گارنت و زون مرمرهای سیلیکات-قلیایی است.

اسکارن‌های قروه سنگ‌هایی همگن نیستند و حتی در یک نمونه دستی دارای تمرکزهای مختلفی از کانی‌ها هستند به-طوری که در برخی نقاط انباشت گارنت موجب پیدایش سنگ‌هایی به نام گارنتیت<sup>۱</sup> شده است که بیشتر از گارنت‌های نیمه شکل‌دار تشکیل شده‌اند ولی کلینوپیروکسن (دیوپسید) و کلسیت نیز در آنها مشاهده می‌شود. به‌طور کلی، انواع کانی‌هایی که در اسکارن‌های قروه می‌توان شناسایی کرد، شامل کربنات (کلسیت)، کلینوپیروکسن (دیوپسید)، گارنت (گراسولار- آندرادیت)، وزوویانیت، ولاستونیت، اسفن و اپیدوت می‌شوند (شکل ۲-پ). از این‌رو در اسکارن‌های قروه مجموعه کانی‌های زیر را می‌توان از یکدیگر تفکیک کرد:

کلسیت+کلینوپیروکسن+وزوویانیت

کلسیت+کلینوپیروکسن+گارنت+وزوویانیت

کلسیت+کلینوپیروکسن+گارنت+لاستونیت+اپیدوت

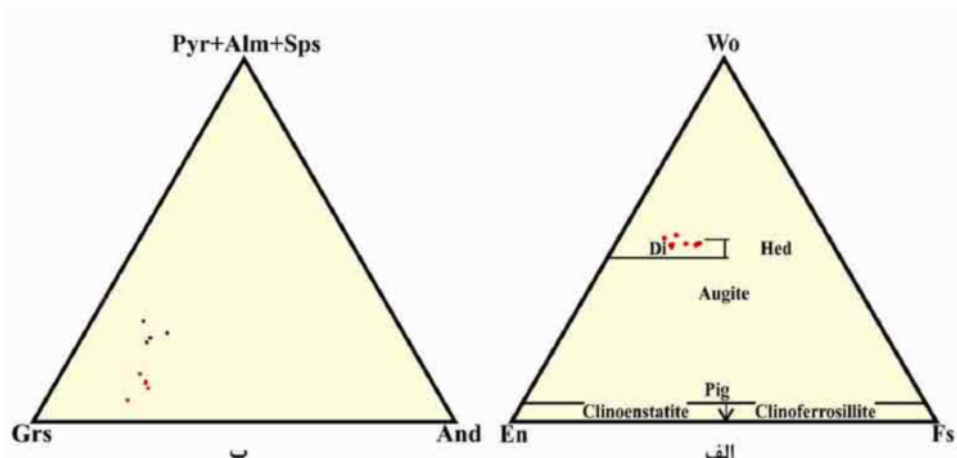
کلسیت در این سنگ‌ها به دو شکل اولیه و ثانویه وجود دارد. کلسیت‌های اولیه طی دگرگونی کانی‌های کربناتی و کلسیت-های ثانویه از کانی‌هایی مانند کلینوپیروکسن و گارنت به وجود

شناسایی شده در اسکارن‌های سرانجیک که در نمودار  $\text{CaO}-\text{Al}_2\text{O}_3-\text{SiO}_2+(\text{CO}_2+\text{H}_2\text{O})$  (شکل ۴-الف) و در نمودار (شکل ۴-ب) دیده می‌شوند، و نیز وجود کلینوپیروکسن، می‌توان استنباط کرد که پدیده‌ی دگرگونی مجاورتی تا حد رخساره‌ی پیروکسن هورنفلس پیشرفت کرده است. همچنین در شکل ۵ تعادل‌های فازی وابسته به کانی‌های موجود در اسکارن‌ها در شرایط دما و فشارهای گوناگون نمایش داده شده‌اند. با توجه به این نمودار می‌توان پایداری مجموعه کانی‌های موجود در اسکارن‌های قروه را بین دو منحنی ۱ و ۲ در نظر گرفت. یعنی در گستره‌ی دمایی کمتر از  $800$  درجه‌ی سانتی-گراد و فشار کمتر از  $3$  کیلوبار تا دمایی بیش از  $400$  درجه‌ی سانتی-گراد و فشار بیش از صفر کیلوبار. به‌نظر [۲۶] بهتر است که برای واکنش ۲ از گستره‌ای که این خط دارای شیب کمتری است (فشار بیشتر از  $1$  کیلوبار) استفاده شود. چنانکه در شکل ۵ مشاهده می‌شود  $X_{\text{CO}_2}$  می‌تواند بر شرایط دما- فشار پایداری کانی‌ها موثر باشد، به طوری که افزایش آن موجب کاهش دمای پایداری کانی‌ها می‌شود ولی بر مقدار فشار تأثیری ندارد. در این شکل خط منقطع که بیانگر شرایط دما و فشار جدید برای واکنش  $\text{Wol}+\text{CO}_2 \rightarrow \text{Cal}+\text{Qtz}$  است نشان می‌دهد حد دمای پایداری ولاستونیت با افزایش  $X_{\text{CO}_2}$  از  $650$  به  $550$  درجه‌ی سانتیگراد کاهش می‌یابد ولی در فشار تعییری ایجاد نمی‌شود. براساس بررسیهای تجربی [۲۷] دمای تشکیل آندرادیت و گراسولار در حدود  $225$  تا  $950$  درجه‌ی سانتیگراد و در مورد پیروکسن و گارنت در حدود  $500$  تا  $800$  درجه است.

آپاتیت تشکیل شده است (شکل ۲-ج). بافت سنگ‌های این واحد گرانیتی بطور کلی دانه‌ای یا گرانولار و دانه‌ها نیمه شکل-دار تا بی‌شکلند. از دیدگاه سنگ‌شناسی و ژئوشیمی، مجموعه‌ی پلوتونیک قروه به سری آهکی-قلیایی، نوع I، با پتاسیم متوسط، متال‌الومین تا کمی پرآلکالن و از نوع گرانیتوبیدهای قوس آتشفسانی وابسته به مناطق فروزانش است [۱۲].

**شیمی کانی‌های کلینوپیروکسن و گارنت**  
نتایج آنالیز شیمیایی این کانی‌ها، شامل درصد اکسیدها و درصد اعصار نهایی آنها در جدول‌های ۱ و ۲ ارائه شده‌اند. میانگین ترکیب کلینوپیروکسن‌ها  $\text{En}_{37}\text{Fs}_{15}\text{Wo}_{48}$  است و در نمودار سه تایی پیروکسن‌ها (شکل ۳-الف) ترکیب شده در گستره‌ی دیوپسید قرار می‌گیرند (شکل ۳-الف). ترکیب گارنت‌ها روی نمودار گارنت‌ها (شکل ۳-ب) بیشتر از نوع گراسولار و آندرادیت و تعداد محدودی از آنان ترکیب گراسولار و آلماندن دارند [۶]. نبود آنورتیت در اسکارن‌های سرانجیک دلالت بر میزان پایین بودن  $\text{Al}_2\text{O}_3$  این سنگ‌ها دارد که تنها توانسته است در تشکیل گارنت (گراسولار) شرکت کند.

**زمین- دماسنگی اسکارن‌ها بر اساس مجموعه‌ی کانی‌ها**  
کانی‌شناسی اسکارن‌ها تابعی از شرایط فیزیکی و شیمیایی آنهاست، لذا می‌توان با استناد به پایداری کانی‌های آنها به شرایط فشار و دمای حاکم بر این سنگ‌ها پی برد. اسکارن‌ها از نظر شیمیایی در سیستم باز (دگرنهادی) تشکیل می‌شوند و علاوه بر دما و فشار، متغیرهای شیمیایی زیادی بر ترکیب کانی‌شناسی آنها اثر می‌گذارند. با توجه به مجموعه کانی‌های



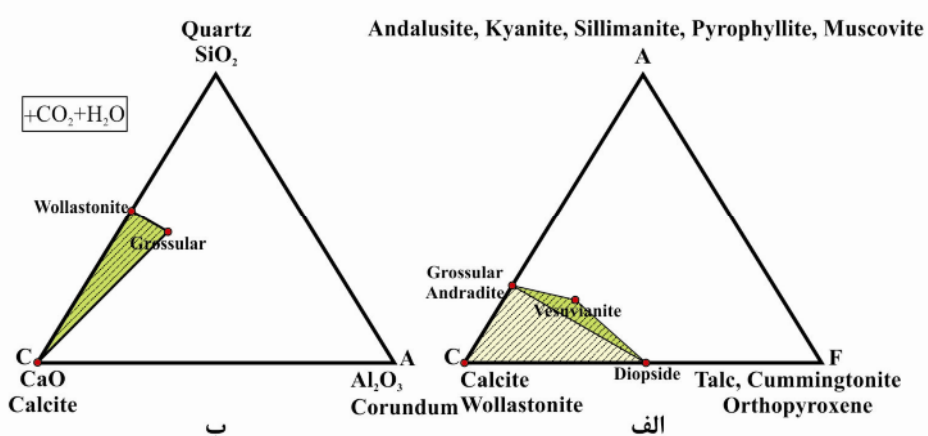
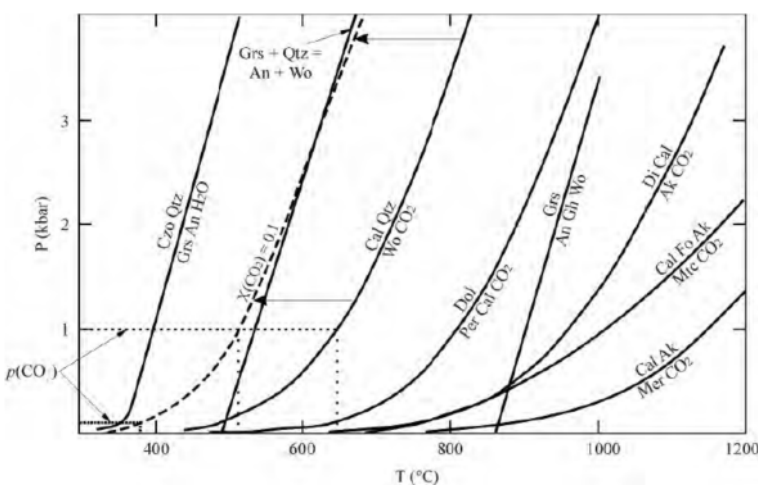
شکل ۳ (الف) موقعیت ترکیب کلینوپیروکسن‌های اسکارن قروه در نمودار مثلثی طبقه‌بندی پیروکسن‌ها [۶]. (ب) موقعیت ترکیب گارنت‌های اسکارن قروه در نمودار مثلثی طبقه‌بندی گارنت‌ها [۳۰].

جدول ۱ نتایج آنالیز ریزپردازی نمونه‌های گارنت و کلینوپیروکسن در اسکارن‌های منطقه‌ی سرانجیک-قروه.

	Garnet									
	Gr1441	Gr1431	Gr432	Gr431	Gr422	Gr421	Gr114	Gr113	Gr112	Gr111
SiO <sub>2</sub>	۳۸,۶۰	۳۸,۹۵	۳۶,۶۳	۳۶,۵۹	۳۷,۳۲	۳۷,۰۵	۳۷,۲۷	۳۶,۵۹	۳۵,۵۳	۳۷,۰۷
TiO <sub>2</sub>	۰,۰۳	۰,۰۴	۰,۲۲	۰,۲۳	۰,۱۳	۰,۱۱	۰,۱۸	۰,۱۱	۰,۱۵	۰,۱۳
Al <sub>2</sub> O <sub>3</sub>	۲۴,۷۶	۲۴,۸۱	۱۵,۹۷	۱۶,۷۲	۱۷,۱۰	۱۶,۹۴	۱۷,۶۱	۱۸,۵۹	۱۶,۹۷	۱۸,۰۴
Cr <sub>2</sub> O <sub>3</sub>	۰,۰۰	۰,۰۳	۰,۰۱	۰,۰۲	۰,۰۰	۰,۰۰	۰,۰۰	۰,۰۰	۰,۰۹	۰,۰۳
FeO	۱۱,۴۸	۱۱,۵۴	۱۰,۴۸	۹,۱۴	۷,۹۹	۸,۱۶	۱۰,۲۴	۱۰,۳۷	۱۲,۱۱	۱۰,۹۹
MnO	۰,۱۸	۰,۲۴	۰,۱۷	۴,۵۴	۲,۴۶	۲,۵۹	۶,۳۴	۷,۴۵	۷,۳۷	۶,۷۳
MgO	۰,۰۱	۰,۰۲	۰,۱۱	۰,۰۷	۰,۰۴	۰,۰۶	۰,۱۲	۰,۱۳	۰,۱۰	۰,۱۰
CaO	۲۳,۸۲	۲۳,۹۶	۲۹,۹۶	۳۱,۰۳	۳۳,۵۰	۳۲,۹۹	۲۷,۰۳	۲۴,۶۶	۲۵,۱۱	۲۶,۶۷
Na <sub>2</sub> O	۰,۰۰	۰,۰۲	۰,۰۰	۰,۰۲	۰,۰۱	۰,۰۰	۰,۰۱	۰,۰۰	۰,۰۲	۰,۰۰
K <sub>2</sub> O	۰,۰۰	۰,۰۰	۰,۰۱	۰,۰۰	۰,۰۰	۰,۰۱	۰,۰۲	۰,۰۲	۰,۰۰	۰,۰۲
Total	۹۸,۸۷	۹۹,۶۲	۹۸,۵۶	۹۸,۳۶	۹۸,۵۴	۹۷,۹۰	۹۸,۸۱	۹۷,۹۰	۹۷,۴۴	۹۹,۷۹
	Pyroxene									
	Gr1441	Gr1431	Gr432	Gr431	Gr422	Gr421	Gr114	Gr113	Gr112	Gr111
SiO <sub>2</sub>	۵۳,۲۸	۵۰,۴۶	۴۹,۹۱	۵۰,۴۴	۵۰,۵۸	۵۰,۵۳	۵۰,۴۴	۵۰,۸۰	۵۰,۳۳	۵۱,۴۱
TiO <sub>2</sub>	۰,۰۱	۰,۰۳	۰,۰۰	۰,۰۰	۰,۰۱	۰,۰۲	۰,۰۰	۰,۰۰	۰,۰۰	۰,۰۰
Al <sub>2</sub> O <sub>3</sub>	۰,۸۹	۰,۴۸	۰,۲۸	۰,۴۰	۰,۳۰	۰,۴۷	۰,۲۹	۰,۳۶	۰,۳۲	۰,۳۶
Cr <sub>2</sub> O <sub>3</sub>	۰,۰۱	۰,۰۰	۰,۰۰	۰,۰۳	۰,۰۰	۰,۰۴	۰,۰۳	۰,۰۰	۰,۰۲	۰,۰۷
FeO	۱۷,۱۳	۱۲,۷۹	۱۲,۶۲	۱۱,۷۲	۱۲,۹۵	۱۲,۹۵	۱۰,۲۴	۱۱,۷۶	۱۲,۶۲	۱۱,۵۰
MnO	۱,۱۱	۱,۷۸	۲,۲۳	۲,۳۵	۲,۴۳	۲,۰۹	۳,۲۷	۲,۴۱	۲,۳۳	۱,۸۹
MgO	۱۳,۸۱	۹,۳۴	۹,۰۷	۹,۵۹	۹,۲۱	۲۳,۶۱	۱۰,۲۲	۱۰,۰۰	۸,۹۷	۱۰,۱۸
CaO	۱۳,۸۴	۲۳,۸۵	۲۲,۷۷	۲۴,۰۸	۲۳,۷۵	۲۳,۶۱	۲۳,۸۷	۲۳,۶۷	۲۳,۹۱	۲۴,۱۷
Na <sub>2</sub> O	۰,۰۳	۰,۲۵	۰,۱۴	۰,۱۶	۰,۱۹	۰,۲۷	۰,۲۱	۰,۱۹	۰,۱۷	۰,۲۱
K <sub>2</sub> O	۰,۱۸	۰,۰۳	۰,۰۰	۰,۰۰	۰,۰۱	۰,۰۰	۰,۰۰	۰,۰۳	۰,۰۰	۰,۰۰
Total	۱۰۰,۲۶	۹۸,۹۹	۹۸,۱۲	۹۸,۷۶	۹۹,۴۴	۹۹,۰۰	۹۸,۵۶	۹۹,۲۱	۹۸,۶۸	۹۹,۸۰

جدول ۲ مقادیر فرمول ساختاری گارنت به کار گرفته شده در نمونه‌های اسکارن منطقه‌ی سرانجیک-قروه.

Samples	Gr421	Gr114	Gr113	Gr112	Gr111
Sum (Fe+Mg+Mn+Ca)	۰,۷۵	۰,۷۲	۰,۶۹	۰,۷۲	۰,۷۳
X <sub>Alm</sub>	۰,۱۸	۰,۲۰	۰,۲۱	۰,۲۳	۰,۲۱
X <sub>pyr</sub>	۰,۰۰	۰,۰۰	۰,۰۱	۰,۰۰	۰,۰۰
X <sub>Sps</sub>	۰,۰۷	۰,۱۳	۰,۱۵	۰,۱۴	۰,۱۳
X <sub>Grs</sub>	۰,۷۵	۰,۶۷	۰,۶۳	۰,۶۲	۰,۶۶
Fe/Mg (Grt)	۶۲,۷۲	۴۹,۱۱	۴۵,۰۸	۶۹,۲۹	۶۲,۹۱
Fe/Mg (Cpx)	۰,۸۱	۰,۵۶	۰,۶۶	۰,۷۹	۰,۶۳
KD	۷۷,۷۹	۸۷,۳۶	۶۸,۲۷	۸۷,۸۰	۹۹,۳۲
Mg#	۱,۵۷	۱,۹۹	۲,۱۷	۱,۴۲	۱,۵۶
X <sub>Mg#</sub>	۰,۰۲	۰,۰۲	۰,۰۲	۰,۰۱	۰,۰۲
Samples	Gr1441	Gr1431	Gr432	Gr431	Gr422
Sum Fe+Mg+Mn+Ca	۰,۶۰	۰,۵۹	۰,۷۶	۰,۷۵	۰,۷۴
X <sub>Alm</sub>	۰,۲۸	۰,۲۷	۰,۱۹	۰,۱۷	۰,۱۵
X <sub>pyr</sub>	۰,۰۰	۰,۰۰	۰,۰۰	۰,۰۰	۰,۰۰
X <sub>Sps</sub>	۰,۰۱	۰,۰۱	۰,۱۰	۰,۰۹	۰,۰۵
X <sub>Grs</sub>	۰,۷۱	۰,۷۲	۰,۷۱	۰,۷۴	۰,۸۰
Fe/Mg (Grt)	۴۲۱,۲۴	۳۲۳,۵۵	۵۵,۴۴	۷۲,۲۳	۱۱۷,۹۰
Fe/Mg (Cpx)	۱,۲۴	۰,۷۰	۰,۷۸	۰,۶۸	۰,۷۹
KD	۲۲۹,۵۷	۴۶۴,۹۴	۷۱,۰۳	۱۰,۵۳۹	۱۴۹,۴۲
Mg#	۰,۲۴	۰,۳۱	۱,۷۷	۱,۳۶	۰,۱۴
X <sub>Mg#</sub>	۰,۰۰	۰,۰۰	۰,۰۲	۰,۰۱	۰,۰۲

شکل ۴ (الف) نمودار ACF و (ب)  $\text{Al}_2\text{O}_3\text{CaOSiO}_2$  وابسته به کانی‌های همزیست اسکارن‌های قروه [۲۷].شکل ۵ نمودار دما- فشار با تنوعی از تعادل‌های فازی به کار گرفته شده در شرایط دما- فشار تشکیل اسکارن. تعادل‌های کربن‌زدایی در شرایط  $\text{PT}=\text{P}(\text{CO}_2)$  (خطوط پرنگ) و  $\text{X}(\text{CO}_2)=0.1$  (خط‌چین‌ها) [۲۶].

یابد، ولستونیت بیشتری به وجود می‌آید زیرا واکنش بیشتر می‌تواند در جهت تولید ولستونیت، ( $\text{Wol} + \text{CO}_2 \rightarrow \text{Cal} + \text{Qtz}$ ) پیش برود. از سویی دیگر کلسیت موجود در این سنگ‌ها علاوه بر شرکت در ساخت ولستونیت می‌تواند به صورت واکنش  $(\text{Ca}_3\text{Al}_2\text{Si}_3\text{O}_{12} + 3\text{CO}_2 \rightarrow 3\text{CaCO}_3 + 3\text{SiO}_2 + \text{Al}_2\text{O}_3)$  در ساخت گراسولار شرکت کند. البته این واکنش در صورتی که  $\text{X}_{\text{CO}_2}$  محیط کم باشد نیز رخ می‌دهد. بدین ترتیب مشاهده می‌شود که برای تشکیل گراسولار و ولستونیت لازم است که  $\text{X}_{\text{CO}_2}$  کم باشد. بنابراین با توجه به حضور این دو کانی در این سنگ‌ها، باید  $\text{X}_{\text{CO}_2}$  کم باشد. با توجه به ترکیب مagma (از حدود ۶۰٪ تا ۸۰٪) و اسکارن مربوطه و عمق دگرگونی، [۲۶] معتقد است که بیشترین دما در دگرگونی‌های مجاورتی و اسکارن‌های همراه آنها از ۶۵۰ درجه سانتیگراد کمتر است.

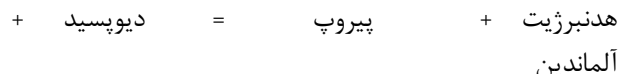
با توجه به گستره‌ی پایداری ولستونیت، [۲۸] معتقد است که در شرایط فشار کم معادل سطح زمین، ولستونیت حتی می‌تواند در دمایی کمتر از ۴۰۰ درجه‌ی سانتیگراد نیز تشکیل شود ولی با افزایش فشار گاز کربنیک تا  $5\text{kbar}$ ، کوارتز و کلسیت تا دمایی بیش از ۸۰۰ درجه‌ی سانتیگراد پایدار مانده و به ولستونیت تبدیل نمی‌شوند. اما وجود ولستونیت در برخوردگاه با سنگ‌های آذرین می‌تواند بیانگر دمایی بیش از ۴۰۰ درجه‌ی سانتیگراد برای تشکیل ولستونیت باشد. بنابراین  $\text{X}_{\text{CO}_2}$  کاهش یابد دمای تشکیل ولستونیت نیز کاهش می‌یابد [۲۸]. بنابر شکل ۶، ولستونیت در دمای ۸۶۰ درجه‌ی سانتیگراد، در فشارهای بالاتر از ۶ کیلوبار و در دمای حدود ۷۰۰ درجه‌ی سانتیگراد، و در فشار بیش از ۴۴ کیلوبار پایدار نبوده و به  $\text{Cal}+\text{Qtz}$  تبدیل می‌شود. از آنجا که پایداری این کانی به  $\text{P}_{\text{CO}_2}$  محیط نیز بستگی دارد هرچه  $\text{P}_{\text{CO}_2}$  کاهش

کلینوپیروکسن‌های سنگ‌های اولترامافیک پیشنهاد کرد که در آن گارنت‌ها از نظر Mg غنی و کلینوپیروکسن‌ها از نظر Na و Al فقیرند. در حالی که در درجه‌بندیهای پیشنهادی [۳۹] گارنت‌ها از نظر Mg غنی نیستند ولی کلینوپیروکسن‌ها از نظر Na و Al غنی‌اند.

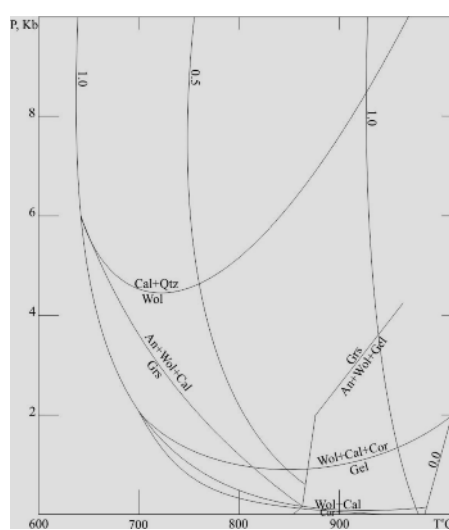
روش پیشنهادی [۳۵] که برای گرانولیت‌ها و آمفیبولیت‌ها قابل استفاده است مقادیری را به دست داده است که بسیار پایین است زیرا این روش تنها برای حالتی که  $X_{Grs} = 0.2$  است قابل استفاده است و در مورد سنگ‌های مورد بررسی مقادیر صحیح را ارائه نمی‌کند، زیرا در اینجا  $X_{Grs} > 0.62$  است (جدول ۳). نتایج حاصل از همه‌ی این زمین‌دما‌سنجها در جدول‌های ۴، ۵، ۶ و ۷ ارائه شده‌اند. با توجه به اینکه اسکارن‌ها از نوع دگرگونی مجاورتی هستند از این روش فشار در نظر گرفته شده برای آنان کمتر از ۴ کیلوبار است. به این ترتیب گستره‌ی تغییرات دما در فشار بین ۱ تا ۴ کیلوبار بین ۳۲۰ تا ۵۹۰ درجه‌ی سانتیگراد محاسبه شد. اما از میان نتایج به دست آمده تنها روش‌هایی که در آنها تغییرات دما و فشار با مجموعه پاراژنز کانی‌های موجود در اسکارن‌ها همخوانی دارند مقادیر منطقی‌تری را برای اسکارن‌ها ارائه می‌کنند. از این‌رو با مقایسه‌ی زمین‌دما‌سنجهای مختلف (جدول ۴، ۵ و ۷) می‌توان گفت که روش‌های ارائه شده توسط [۳۹، ۳۲، ۳۱، ۴۰] بهترین روش زمین‌دما‌سنجی گارنت - کلینوپیروکسن برای اسکارن منطقه مورد بررسی است. لذا با توجه به مباحث بالا، دمای به‌دست آمده به طور متوسط در فشار کمتر از ۳ کیلوبار تقریباً معادل ۴۵۰ تا ۵۸۷ درجه سانتیگراد برای اسکارن‌های منطقه سرانجیک قروه پیشنهاد می‌شود.

بررسیهای [۲۹، ۳۰] نیز دمای ۴۰۰ تا ۶۰۰ درجه‌ی سانتیگراد را برای تشکیل اسکارن پیشنهاد می‌کنند. همچنین با توجه به نظر [۲۶] تشکیل ولاستونیت در اغلب موارد در دمای کمتر از ۵۵۰ درجه‌ی سانتیگراد رخ می‌دهد. لذا می‌توان گفت که احتمالاً فشار گاز کربنیک کمتر از ۱۰ kbar بوده است. بنابراین با استناد به دمای پایداری هریک از کانی‌ها می‌توان گستره‌ی دمای دگرگونی و تشکیل انواع کانی‌های موجود در این اسکارن‌ها را در کمتر از ۶۵۰ درجه‌ی سانتیگراد و فشار کم CO<sub>2</sub> در نظر گرفت.

**زمین‌دما‌سنجی گارنت - کلینوپیروکسن**  
با توجه به اینکه KD (ضریب انتشار) Fe-Mg بین گارنت و کلینوپیروکسن نسبت به شرایط دمایی حساس است، این دما‌سنج بر پایه‌ی تبادل Fe-Mg بین گارنت و کلینوپیروکسن طراحی شده است و واکنش آن به صورت زیر است:



$1/3\text{Fe}_3\text{Al}_2\text{Si}_3\text{O}_{12} + \text{CaMgSi}_2\text{O}_6 = 1/3\text{Mg}_3\text{Al}_2\text{Si}_3\text{O}_{12} + \text{CaFeSi}_2\text{O}_6$   
که برای اولین بار [۳۱] یک درجه‌بندی تجربی برای آن ارائه کردند. بعدها درجه‌بندیهای تجربی دیگری توسط پژوهشگران دیگر پیشنهاد شدند که از جمله می‌توان به دما‌سنج‌های پیشنهادی [۳۹-۳۲، ۵، ۴، ۳] اشاره کرد. در میان فرمول‌های یاد شده، روش‌های [۳۴-۳۲] به منظور دما‌سنجی اکلوژیت‌ها طراحی شده‌اند و با توجه به تأثیر فاکتور  $X^{\text{Grt}}_{Grs}$  برای گارنت-های دارای کلسیم بالا (گروسولار)، استفاده می‌شود. دما‌سنج [۳] و [۵] برای سنگ‌های پریدوتیتی و اکلوژیت‌های دمای بالا مناسب است. در حقیقت [۳] فرمولی را براساس



شکل ۶ گستره‌ی دما-فشار وابسته به پایداری مجموعه کانی‌های اسکارن روی گذاره‌ی گرانیتی با وجود H<sub>2</sub>O و CO<sub>2</sub> آبگون [۲۶].

جدول ۳ درصد اعضای نهایی در کانی گارت در نمونه‌های انتخابی از اسکارن‌های منطقه‌ی سرانجیک- قروه.

Samples	Gr421	Gr114	Gr113	Gr112	Gr111
Almandine	۰,۰۰	۶,۸۰	۱۰,۰۰	۶,۳۰	۷,۱۴
Andradite	۲۲,۶۴	۱۵,۹۳	۱۲,۳۱	۱۹,۶۲	۱۶,۲۰
Grossular	۶۸,۲۶	۶۲,۳۰	۵۹,۹۲	۵۶,۱۰	۶۰,۸۸
Pyrope	۰,۳۶	۰,۴۷	۰,۵۳	۰,۴۱	۰,۳۹
Spessartine	۸,۷۴	۱۴,۵۰	۱۷,۲۴	۱۷,۵۷	۱۵,۳۹
Samples	Gr1441	Gr1431	Gr432	Gr431	Gr422
Almandine	۳۲,۲۷	۳۲,۱۸	۰,۰۰	۰,۰۰	۰,۰۰
Andradite	۰,۰۰	۰,۰۰	۱۸,۶۹	۲۱,۱۹	۱۹,۴۴
Grossular	۶۶,۸۳	۶۷,۲۱	۶۸,۲۳	۶۸,۰۲	۷۴,۸۲
Pyrope	۰,۰۶	۰,۰۸	۰,۴۶	۰,۲۹	۰,۱۵
Spessartine	۰,۸۴	۰,۵۴	۱۲,۶۲	۱۰,۵۱	۵,۵۹

جدول ۴ مقدادیر دمای به دست آمده بر حسب درجه‌ی سانتیگراد از طریق روش‌های زمین‌دماسنجی گوناگون برای نمونه‌های منطقه‌ی سرانجیک- قروه در فشار ۱ کیلوبار.

Samples	Gr421	Gr114	Gr113	Gr112	Gr111
Krogh,1998	۳۳۱,۹۷	۳۴۴,۹۴	۳۸۰,۹۴	۳۵۵,۶۱	۳۳۵,۹۳
Krogh Ravana,2000	۴۴۵,۰۶	۴۳۹,۵۰	۴۷۳,۸۳	۴۳۲,۲۶	۴۲۱,۴۲
Ai,1994	۴۳۰,۳۹	۳۹۸,۱۸	۴۱۸,۷۶	۳۸۲,۸۹	۴۷,۳۷۸
Nakamura,2005	۴۴۲,۶۰	۴۱۳,۲۳	۴۳۱,۸۱	۴۰۰,۱۱	۳۹۵,۵۶
Powell,1985	۵۷۰,۸۲	۵۱۸,۳۹	۵۳۱,۵۸	۴۹۱,۰۴	۴۹۳,۷۶
Ellis & Green,1979	۵۸۲,۳۲	۵۳۱,۴۷	۵۴۵,۰۴	۵۰,۵,۱۳	۵۰,۷,۳۲
Samples	Gr1441	Gr1431	Gr432	Gr431	Gr422
Krogh,1998	۲۱۹,۲۵	۱۹۵,۴۳	۳۵۶,۶۴	۳۰,۳,۰۲	۲۴۴,۷۸
Krogh Ravana,2000	۲۶۰,۲۵	۲۳۸,۲۱	۴۶۱,۴۶	۴۱۳,۸۹	۳۶۷,۶۲
Ai,1994	۲۷۳,۸۶	۲۵۲,۲۰	۴۳۳,۲۷	۳۹۲,۴۰	۳۶۵,۶۳
Nakamura2005	۲۹۹,۵۵	۲۷۹,۲۹	۴۴۴,۹۱	۴۰,۹,۴۴	۳۸۸,۲۲
Powell,1985	۳۹۲,۰۲	۳۷۰,۱۷	۵۶۳,۸۰	۵۲۹,۰۳	۵۱۶,۰۲
Ellis & Green,1979	۴۰,۵,۳۸	۳۸۳,۴۱	۵۷۵,۸۸	۵۴۱,۰۸	۵۲۷,۴۷

جدول ۵ مقدادیر دمای به دست آمده بر حسب درجه‌ی سانتیگراد از زمین‌دماسنجی نمونه‌های منطقه‌ی مورد بررسی در فشار ۲ کیلوبار.

Samples	Gr421	Gr114	Gr113	Gr112	Gr111
Krogh,1998	۳۳۳,۷۱	۳۴۶,۶۵	۳۸۲,۷۲	۳۵۷,۳۱	۳۳۷,۶۰
Krogh Ravana,2000	۴۷۵,۴۳	۴۶۹,۲۶	۵۰,۴,۹۴	۴۶۱,۹۹	۴۵۰,۵۲
Ai,1994	۴۳۲,۶۴	۴۰,۱,۳۶	۴۲۲,۱۰	۳۸۶,۰۷	۳۸۱,۵۸
Nakamura,2005	۴۴۵,۹۴	۴۱۵,۵۲	۴۳۴,۲۰	۴۰,۲,۴۰	۳۹۷,۸۰
Powell,1985	۵۷۲,۴۷	۵۲۰,۰۰	۵۳۳,۲۶	۴۹۲,۶۵	۴۹۵,۳۴
Ellis & Green,1979	۵۸۴,۰۵	۵۳۳,۱۷	۵۴۶,۸۱	۵۰,۶,۸۳	۵۰,۸,۹۹
Samples	Gr1441	Gr1431	Gr432	Gr431	Gr422
Krogh,1998	۲۲۰,۶۴	۱۹۶,۷۶	۳۵۸,۴۰	۳۰,۴,۶۷	۲۴۶,۳۴
Krogh Ravana,2000	۲۸۴,۲۸	۲۶۱,۲۱	۴۹۲,۳۳	۴۴۲,۶۹	۲۹۴,۸۱
Ai,1994	۲۷۶,۴۲	۲۵۴,۶۴	۴۳۶,۵۸	۳۹۲,۴۰	۳۶۸,۵۴
Nakamura2005	۳۰,۱,۴۴	۲۸۱,۱۱	۴۴۷,۲۸	۴۱,۶۷	۳۹۰,۳۴
Powell,1985	۳۹۳,۳۵	۳۷۱,۴۴	۵۶۵,۴۷	۵۳۰,۵۹	۵۱۷,۵۱
Ellis & Green,1979	۴۰,۶,۷۹	۳۸۴,۷۶	۵۷۷,۶۶	۵۴۲,۷۴	۵۲۹,۰۴

جدول ۶ مقادیر دمایی به دست آمده بر حسب درجهٔ سانتیگراد از زمین‌دماسنگی نمونه‌های منطقه‌ی مورد بررسی در فشار ۳ کیلوبار.

Samples	Gr421	Gr114	Gr113	Gr112	Gr111
Krogh,1998	۴۴۵,۴۵	۴۴۸,۳۵	۴۸۴,۵۰	۴۵۹,۰۱	۴۳۹,۲۷
Krogh Ravana,2000	۵۰,۰۸۰	۴۹۹,۰۱	۵۳۶,۰۴	۴۹۱,۷۲	۴۷۹,۶۱
Ai,1994	۴۴۸,۹۰	۴۰,۴,۵۵	۴۲۵,۴۳	۳۸۹,۲۵	۳۸۴,۶۹
Nakamura,2005	۴۴۸,۲۷	۴۱۷,۸۱	۴۳۶,۵۸	۴۰,۴,۶۹	۴۰۰,۰۵
Powell,1985	۵۷۴,۱۱	۵۲۱,۶۱	۵۳۴,۹۳	۴۹۴,۲۶	۴۹۶,۹۲
Ellis & Green,1979	۵۸۵,۷۹	۵۳۴,۸۷	۵۴۸,۵۸	۵۰,۱,۵۴	۵۱۰,۶۶
Samples	Gr1441	Gr1431	Gr432	Gr431	Gr422
Krogh,1998	۲۲۲,۰۲	۱۹۸,۰۸	۳۶۰,۱۷	۳۰,۶,۳۲	۲۴۷,۹۰
Krogh Ravana,2000	۳۰,۸,۳۱	۲۸۴,۲۱	۵۲۲,۲۱	۴۷۱,۵۰	۴۲۲,۰۰
Ai,1994	۲۷۸,۹۸	۲۵۷,۰۹	۴۳۹,۸۸	۳۹۸,۵۶	۳۷۱,۴۴
Nakamura2005	۳۰,۳,۳۲	۲۸۲,۹۲	۴۴۹,۶۵	۴۱۳,۸۹	۳۹۲,۴۵
Powell,1985	۳۹۴,۶۷	۳۷۲,۷۱	۵۶۷,۱۳	۵۳۲,۱۶	۵۱۸,۹۹
Ellis & Green,1979	۴۰,۸,۱۹	۳۸۶,۱۱	۵۷۹,۴۰	۵۴۴,۳۹	۵۳۰,۶۱

جدول ۷ مقادیر دمایی به دست آمده بر حسب درجهٔ سانتیگراد از زمین‌دماسنگی نمونه‌های منطقه‌ی مورد بررسی در فشار ۴ کیلوبار.

Samples	Gr421	Gr114	Gr113	Gr112	Gr111
Krogh,1998	۳۳۷,۱۹	۳۵۰,۰۶	۳۸۶,۲۸	۳۶۰,۷۲	۳۴۰,۹۳
Krogh Ravana,2000	۵۳۶,۱۸	۵۲۸,۷۷	۵۶۷,۱۴	۵۲۱,۴۵	۵۰,۸,۷۱
Ai,1994	۴۴۰,۱۵	۴۰,۷,۷۳	۴۲۸,۷۶	۳۹۲,۴۳	۳۸۷,۸,
Nakamura,2005	۴۵۰,۶۱	۴۲۰,۱۰	۴۳۸,۹۷	۴۰,۶,۹۸	۴۰,۲,۳۰
Powell,1985	۵۷۵,۷۵	۵۲۳,۲۲	۵۲۶,۶۱	۴۹۵,۸۷	۴۹۸,۵۰
Ellis & Green,1979	۵۸۷,۵۲	۵۳۶,۵۸	۵۵۰,۳۶	۵۱۰,۱۴	۵۱۲,۳۳
Samples	Gr1441	Gr1431	Gr432	Gr431	Gr422
Krogh,1998	۲۲۳,۴۱	۱۹۹,۴۱	۳۶۱,۹۴	۳۰,۷,۹۷	۲۴۹,۴۶
Krogh Ravana,2000	۳۳۲,۳۳	۳۰,۷,۲۱	۵۵۴,۰۹	۵۰,۰,۳۱	۴۴۹,۱۹
Ai,1994	۲۸۱,۵۴	۲۵۹,۵۴	۴۴۳,۱۹	۴۰,۱,۶۴	۳۷۴,۳۴
Nakamura2005	۳۰,۵,۲۱	۲۸۴,۷۳	۴۵۲,۰۲	۴۱۶,۱۲	۳۹۴,۵۶
Powell,1985	۳۹۵,۹۹	۳۷۳,۹۸	۵۶۸,۸۰	۵۳۲,۷۲	۵۲۰,۴۷
Ellis & Green,1979	۴۰,۹,۶۰	۳۸۷,۴۶	۵۸۱,۱۶	۵۴۶,۰۵	۵۳۲,۱۸

## مراجع

- [1] Chen N. S., Sun M., You Z. D., Malpas J., "Well-preserved garnet growth zoning in granulite from the Dabie Mountains, central China", Journal of Metamorphic Geology 16 (1988), 213-222.
- [2] Dahl P. S., "The thermal-compositional dependence of  $Fe^{2+}$ -Mg distribution between garnet and pyroxene: applications to geothermometry", American Mineralogist 65 (1980), 854-866.
- [3] Ferry J. M., "Role of fluid flow in the contact metamorphism of siliceous dolomiticimestones", American Mineralogist, (1994) 79, 719-736.

## برداشت

این نخستین تلاشی است در جهت زمین‌دماسنگی اسکارن‌های منطقه سرانجیک قروه علیرغم اینکه تا کنون زمین‌دماسنگ خاصی برای تعیین دمای اسکارن‌ها ارایه نشده است، ولی با زمین‌دماسنگ گارنت - کلینوپیروکسن ارائه شده در [۴۰, ۳۹, ۳۶, ۳۲, ۳۱]، دمایی در حدود ۴۵۰ تا ۵۸۷ درجه سانتیگراد در فشار کمتر از ۳ کیلوبار که در حد رخساره‌ی هورنبلاند هورنفلس تا بخشی از رخساره‌ی پیروکسن هورنفلس است برای اسکارن‌های منطقه سرانجیک قروه پیشنهاد می‌شود.

- [۱۵] سنگ قلعه ر، "پترولوزی سنگهای آذرین جنوب قلعه"، دانشگاه شهید بهشتی تهران، (۱۳۷۴).
- [۱۶] شیخی ف، طباخ شعبانی ا.ع، مسعودی ف، اعلمی‌نیا ز، کشاورز ز، "مطالعه کانی‌شناسی اسکارن منطقه سرانجیک قروه، جنوب شرق استان کردستان"، نویزدهمین همایش انجمن بلورشناسی و کانی‌شناسی ایران، گلستان (۱۳۹۰).
- [۱۷] شیخ ذکریایی س.ج، منصف ا، "کانی‌شناسی- پتروفابریک مجموعه دگرگونی قروه (شمال غرب ایران)"، مجله علوم پایه دانشگاه آزاد اسلامی واحد علوم تحقیقات، پاییز (۱۳۸۹) ص ۲۰۳-۲۲۰.
- [۱۸] شیخ ذکریایی س.ج، غفاری فاخرم، "انواع انکلاوهای و شواهد صحرایی - میکروسکوپی امتزاج ماقما در توده‌های گرانیتیوئیدی نفوذی جنوب قروه"، مجله علوم پایه دانشگاه آزاد اسلامی واحد علوم تحقیقات، پاییز (۱۳۸۷) ص ۴۹-۶۲.
- [۱۹] عمروانی ه، "بررسی دگرشکلی و دگرگونی‌های جنوب و جنوب غرب قروه، استان کردستان"، پایان نامه کارشناسی ارشد، دانشگاه تبریز، ایران (۱۳۸۴).
- [۲۰] عمروانی ه، مؤذن م، مؤید م، و جهانگیری ا، "بررسی‌های پترولوزیکی سنگ‌های دگرگونی قروه، دهمین همایش انجمن زمین‌شناسی ایران، دانشگاه تربیت مدرس (۱۳۸۵).
- [۲۱] عمروانی ه، مؤذن م، مؤید م، و جهانگیری ا، "معرفی کانی‌شناسی و روابط پترولوزیکی متالپلیت‌ها در منطقه قروه، سیزدهمین همایش انجمن بلورشناسی و کانی‌شناسی ایران، دانشگاه شهید باهنر کرمان (۱۳۸۴).
- [۲۲] عمیدی م، "سنگ شناسی آذرین جنوب شهرستان قروه، (۱۳۴۶).
- [۲۳] ملکوتیان س، حق نظر ش، قربانی م، امامی م.ح، "بررسی تحولات ماقمایی در سنگ‌های آتشفسانی بازی کواطنری محور قروه - تکاب"، فصلنامه علوم زمین، شماره ۶۴ (۱۳۸۶) ص ۱۶۶.
- [۴] Krauskopf B., "introduction to geochemistry", McGraw Hill: New York (1967) 617p.
- [۵] Raheim A., Green D. H., "Experimental determination of the temperature and pressure dependence of the Fe-Mg partition coefficient for coexisting garnet and clinopyroxene", Contributions to Mineralogy and Petrology 48 (1974), 179-203.
- [۶] Morimoto N., "Nomenclature of pyroxenes", Canadian Mineralogist 27, (1989) P. 143-156.
- [۷] حسینی م، "شرح نقشه زمین‌شناسی ۱:۱۰۰۰۰۰ چهار گوش قروه (پیوست نقشه)"، سازمان زمین‌شناسی و اکتشافات معدنی کشور، (۱۳۷۶).
- [۸] اعلمی‌نیا ز، شیخی ف، طباخ شعبانی ا.ع، "معرفی روند تحولی کانی‌شناسی در اسکارن‌های منطقه سرانجیک قروه (جنوب شرقی استان کردستان)", پانزدهمین همایش انجمن زمین‌شناسی ایران، تربیت معلم تهران (۱۳۹۰).
- [۹] بلورچی م.ح، "تحقيق سنگ شناسی دگرگونی جنوب شهرستان قروه"، پایان نامه دانشگاه تهران، (۱۳۴۶).
- [۱۰] ترکیان ا، "مطالعه ماقماتیسم توده گرانودیوریتی منطقه جنوب قروه (کردستان)"، پایان نامه کارشناسی ارشد دانشگاه اصفهان، (۱۳۸۷).
- [۱۱] ترکیان ا، "استفاده از عناصر کمیاب و نادر خاکی در تعیین منشأ ماقمایی سازنده توده‌های نفوذی گرانودیوریتی- گرانیتیو دیوریتی مجموعه پلوتونیک قروه، پترولوزی، بهار (۱۳۸۹) ص ۴۹-۶۶.
- [۱۲] ترکیان ا، خلیلی م، سپاهی گروع ا، "پتروگرافی و پترولوزی مجموعه پلوتونیک جنوب قروه، مجله پژوهشی علوم پایه دانشگاه اصفهان، (۱۳۸۷) ص ۱۱۷-۱۳۸.
- [۱۳] حریریع، "نگرشی بر خاستگاه گروهی از سنگ‌های دگرگونی گستره قروه"، دانشگاه شهید بهشتی تهران، (۱۳۷۴).
- [۱۴] درویش زاده ع، شهبازی ح، "رده‌بندی ژنتیکی آنکلاوهای استراتوولکان قزلجه کند، شمال شرق قروه، غرب ایران"، زمین و منابع، بهار (۱۳۸۸) ص ۴۵-۵۹.

- [33] Pattison D. R.M., Newton R. C., "Reversed experimental calibration of the garnet-clinopyroxene Fe-Mg exchange thermometer", Contributions to Mineralogy and Petrology 101 (1989), 87–103.
- [34] Krogh E. J., "The garnet-clinopyroxene  $Fe^{+2}$ –Mg geothermometer—an updated calibration", Journal of Metamorphic Geology 18 (2000), 211–219.
- [35] Nakamura D., Svojtka M., Naemura K., Hirajima T., "Very high-pressure ( $>4$  Gpa) eclogite associated with the Moldanubian Zone garnet peridotite (NoveDvory, Czech Republic", Journal of Metamorphic Geology 22 (2004), 593–603.
- [36] Saxena S. K., "Garnet-Clinopyroxene geothermometer; a model with approximate solution", Contributions to Mineralogy and Petrology 70 (1979), 229–235.
- [37] Ai Y., "A revision of the garnet-clinopyroxene  $Fe^{2+}$ –Mg exchange geothermometer", Contributions to Mineralogy and Petrology, 115 (1994), 467–473.
- [38] Ganguly J., "Garnet and clinopyroxene solid solutions and geothermometry based on Fe–Mg distribution coefficients", Geochimica Cosmochimica Acta 43 (1979), 1021–1029.
- [39] Nakamura D., Hirajima T., "Experimental evaluation of garnet-clinopyroxene geothermometry as applied to eclogites", Contributions to Mineralogy and Petrology 150 (2005), 581–588.
- [40] Krogh E. J., "The garnet-clinopyroxene Fe–Mg geothermometer—a reinterpretation of existing experimental data", Contributions to Mineralogy and Petrology 99 (1988), 44–48.
- [۲۴] مؤید م، جهانگیری ا، مؤذن م، عمروانی ه، "معرفی فیبرولیت‌های منطقه قزو و شرایط تشکیل آنها"، پetroلوزی، بهار (۱۳۸۹) ص ۱۰-۱.
- [25] Winkler J. D. H., "Petrogenesis of Metamorphic Rocks", New York: Springer, (1976).
- [26] Bowman J.R., "Basic Aspects and Applications of Phase Equilibria in the Analysis of Metasomatic Ca-Mg-Al-Fe-Si Skarns: In Mineralized Intrusion-Related Skarn Systems (D.R. Lentz, ed.)", Mineral Association of Canada, Short Course 26 (1998a) 1-49.
- [27] Smirnov V. I., "Skarn deposits, in geology of mineral deposits", MIR publication, Moscow (1976) 156-188.
- [28] Krauskopf B., "introduction to geochemistry", McGraw Hill: New York (1967) 617p.
- [29] Barnes H. L., "Solubilities of ore minerals, in geochemistry of hydrothermal ore deposits", 2<sup>th</sup> edition (H. L. Barnes, ed.), John Wiley & sons, New York (1979) 404-460.
- [30] Einaudi M.T., Meinert L.D., Newberry R.J., "Skarn deposits", Economic geology, 75th Anniversary (1981) 317-391.
- [31] Powell R., "Regression diagnostics and robust regression in geothermometer/geobarometer calibration: the garnet clinopyroxene geothermometer revisited", Journal of Metamorphic Geology 2 (1985), 33–42.
- [32] Ellis D. J., Green D. H., "An experimental study of the effect of Ca upon the garnet-clinopyroxene Fe–Mg exchange equilibria". Contributions to Mineralogy and Petrology 71 (1979), 13–22.